

卷

如果
粒子核
几种
两个

接的

两教

(weig).

[ON

analy-
s into
anism
he re-
of the

格点规范理论中 $|\Delta S| = 2$ 的弱作用矩阵元*

陈启洲 李志兵 何宝鹏** 罗向前 郭硕鸿

(中山大学, 广州)

摘 要

本文用格点规范理论的强耦合展开方法, 计算 $|\Delta S| = 2$ 的弱作用矩阵元。由此得到的 K_L - K_S 质量差是和介子质量谱的强耦合展开计算结果相容的, 并且与实验结果接近。

—

人们认为量子色动力学 (QCD) 是描述基本粒子强相互作用理论的候选者。一方面的原因是 QCD 所得到的许多预言至少与实验结果没有尖锐的矛盾, 另一方面是从 Wilson 提出格点规范理论^[1]后, 基本粒子的强作用以及弱作用中的强作用修正可以严格计算。近几年来, 人们广泛应用 Monte Carlo 模拟方法计算强子能谱、强衰变和强子的弱衰变矩阵元, 其中利用格点规范理论估计强子弱衰变中强作用的影响, 对于弄清弱作用中的一些经验规则(例如 $|\Delta I| = \frac{1}{2}$) 是有很重要意义的^[2-8]。在文献 [6-8] 中, 采用 Monte Carlo 方法得到各类弱作用矩阵元。但它们不能给出解析表示式, 因而难以弄清问题的物理机制。我们利用格点 QCD 的强耦合展开和 Pade' 近似技巧, 计算与长寿命和短寿命的 K 介子(即 K_L 和 K_S) 质量差^[4]有关的矩阵元 $\mathcal{M} = \langle K^0 | \bar{d}\gamma_\mu(1 + \gamma_5)S \bar{d}\gamma_\mu(1 + \gamma_5)S | \bar{K}^0 \rangle$ 和 \mathcal{M} 的真空饱和值^[2] $\mathcal{M}_{vac} = \langle K^0 | \bar{d}\gamma_\mu(1 + \gamma_5)S | 0 \rangle \langle 0 | \bar{d}\gamma_\mu(1 + \gamma_5)S | \bar{K}^0 \rangle$ 以及两者的比值, 得到较为满意的结果。

采用 Wilson 方案作强耦合展开^[9]时, 有质量参数 m 和 Wilson 参数 r , 在强子质量谱的计算^[1]中, 对一定的 m , 有一临界 Wilson 参数 r_c , 当 r 稍大于 r_c 时, 给出具有手征对称自发破缺特点的与实验相符的质量谱。本文的计算结果表明, $|\Delta S| = 2$ 的弱作用矩阵元 \mathcal{M} , 当 $r < r_c$ 时有大幅度的变化, 当 $r \gtrsim r_c$ 时, 结果才趋于稳定。这是和强子质量谱的计算相容的。而 \mathcal{M} 与 \mathcal{M}_{vac} 的比值则表现出非常好的参数 r 无关性, 给出与实验相符的结果。

* 国家教委科学基金和中山大学高等学术研究中心资助的课题。

** 华南师范大学访问学者。

本文 1987 年 4 月 21 日收到。

二

在四种夸克的 Weinberg-Salam 模型中, 长寿命和短寿命 K 介子的质量差依赖于 $|\Delta S| = 2$ 的等效弱作用矩阵元^[4]:

$$m_L - m_S = [G_F m_c \sin \theta_C \cos \theta_C / 4\pi]^2 m_K^{-1} \mathcal{M} \quad (1)$$

$$\mathcal{M} = \langle K^0 | \bar{\psi}_d \gamma_\mu (1 + \gamma_5) \psi_s \bar{\psi}_d \gamma_\mu (1 + \gamma_5) \psi_s | \bar{K}^0 \rangle$$

其中 G_F 为费米耦合常数, m_c 为 c 夸克质量, m_K 为 K 介子质量, θ_C 为 Cabibbo 角, ψ_d , ψ_s 分别为 d 和 s 夸克的旋量场算符.

在格点理论中, 我们取 K^0 和 \bar{K}^0 介子的零级波函数为(略去颜色指标 α, β , 自旋指标 i, j 的求和号):

$$|\bar{K}^0, 0\rangle = \sum_x \xi_s^+(x) \eta_d^+(x) |0\rangle, \quad |K^0, 0\rangle = \sum_x \xi_d^+(x) \eta_s^+(x) |0\rangle \quad (2)$$

而等效弱作用算符和 Dirac 旋量场为:

$$Q_{|\Delta S|=2} = \sum_x \bar{\psi}_d(x) \gamma_\mu (1 + \gamma_5) \psi_s(x) \bar{\psi}_d(x) \gamma_\mu (1 + \gamma_5) \psi_s(x) \quad (3)$$

$$\psi_{s,d} = \begin{pmatrix} \xi_{s,d} \\ \eta_{s,d}^+ \end{pmatrix} \quad (4)$$

其中

$$\gamma_k = \begin{pmatrix} 0 & -i\sigma_k \\ i\sigma_k & 0 \end{pmatrix}, \quad \gamma_4 = \begin{pmatrix} 1 & 0 \\ 0 & -1 \end{pmatrix}, \quad \gamma_5 = \begin{pmatrix} 0 & -1 \\ -1 & 0 \end{pmatrix}$$

$$\xi|0\rangle = \eta|0\rangle = 0 \quad E^2|0\rangle = 0$$

为了用强耦合展开估计强作用对 K 介子波函数的修正, 我们用如下的强作用哈氏量 $H_s^{[9]}$:

$$W = \frac{2a}{g^2} H_s = W_0 + \chi(V_1 + V_2) + \chi^2 V_3 \quad (5a)$$

其中

$$\chi = 1/g^2 \quad (g \text{ 为耦合常数})$$

$$W_0 = \sum_{x,k=1,2,3} E^2(x, k) + (m + 6rx) \sum_x \bar{\psi}(x) \psi(x) \quad (5b)$$

$$V_1 = \sum_{x,k=\pm 1, \pm 2, \pm 3} \bar{\psi}(x) \gamma_K U(x, k) \psi(x+k) \\ = -i[\eta(x) \sigma_K U(x, k) \xi(x+k) + \xi^+(x) \sigma_K U(x, k) \eta^+(x+k)] \quad (5c)$$

$$V_2 = -r \bar{\psi}(x) U(x, k) \psi(x+k) \\ = -r[\xi^+(x) U(x, k) \xi(x+k) - \eta(x) U(x, k) \eta^+(x+k)] \quad (5d)$$

$$V_3 = -2 \sum_p \text{Tr}(U_p + U_p^\dagger) \quad (5e)$$

在 (5c) 和 (5d) 中略去了对空间坐标 x 和空间方向 k 的求和 ($k = \pm 1, \pm 2, \pm 3$).

考虑到强作用对 K 介子波函数的修正后, \mathcal{M} 可表示为:

其中
微扰

其中

其中
与 K_s

目

其中
不相容

用

\mathcal{M}

其中

其中

$$\mathcal{M}^L = \frac{\langle K^0 | \bar{\psi}_d \gamma_\mu (1 + \gamma_5) \psi_s \bar{\psi}_d \gamma_\mu (1 + \gamma_5) \psi_s | \bar{K}^0 \rangle}{(\langle K^0 | K^0 \rangle \langle \bar{K}^0 | \bar{K}^0 \rangle)^{1/2}} \quad (6)$$

其中 $\langle K^0 | K^0 \rangle = \langle \bar{K}^0 | \bar{K}^0 \rangle$, 上标 L 表示在格点理论上计算的量 (以下同)。利用薛定格的微扰理论:

$$E_n = \langle i | V | n-1 \rangle \quad (7a)$$

$$|n\rangle = \frac{Q}{b} [(V - E_1) | n-1 \rangle - E_2 | n-2 \rangle \cdots \cdots E_{n-1} | 1 \rangle] \quad (7b)$$

其中 E_n 和 $|n\rangle$ 分别为第 n 级能量和波函数的修正项, $Q = 1 - |i\rangle\langle i|$, $\frac{1}{b} = \frac{1}{E_0 - W_0}$ 。

在(6)式分子中的不相连图可以和分母中的不连通图约去, 故计算时只考虑相连图。

文献[2]用真空饱和插入估计了矩阵元 \mathcal{M} 的数值:

$$\mathcal{M}_{\text{vac}} = \frac{8}{3} \langle K^0 | \bar{\psi}_d \gamma_\mu (1 + \gamma_5) \psi_s | Q \rangle \langle Q | \bar{\psi}_d \gamma_\mu (1 + \gamma_5) \psi_s | \bar{K}^0 \rangle \quad (8)$$

其中 $|Q\rangle$ 为物理真空态, 前面的因子 $8/3$ 是考虑了所有真空插入方式后得到的。 \mathcal{M}_{vac} 与 K 介子的衰变常数和质质量有如下关系:

$$\mathcal{M}_{\text{vac}} = \frac{16}{3} F_K^2 m_K^2 = 0.32 m_K^4 \quad (9)$$

我们可以在格点理论中用强耦合展开方法直接把 \mathcal{M}_{vac} 求出来:

$$\mathcal{M}_{\text{vac}}^L = \frac{\frac{8}{3} \langle K^0 | \bar{\psi}_d \gamma_\mu (1 + \gamma_5) \psi_s | Q \rangle \langle Q | \bar{\psi}_d \gamma_\mu (1 + \gamma_5) \psi_s | \bar{K}^0 \rangle}{\langle K^0 | K^0 \rangle \langle Q | Q \rangle} \quad (10)$$

其中 $|Q\rangle$ 的展开方法与 (7a)、(7b) 式相同, 只是对 $|Q\rangle$, $\frac{1}{b} = \frac{1}{-W_0}$ ($E_0 = 0$)。约去不相连图后, $\langle Q | Q \rangle = 1$ 。

三

用标准的强耦合展开法, 我们得到四级展开式:

$$\mathcal{M}^L = \frac{16 - (384b_s^{-2} + 48m^{-1}b_s^{-1})x^2 + (9216rb_s^{-3} + 576rm^{-1}b_s^{-2} + 288rm^{-2}b_s^{-1})x^3 + Bx^4}{\langle K^0 | K^0 \rangle} \quad (11)$$

$$\mathcal{M}_{\text{vac}}^L = \frac{16 \left[1 - 6 \frac{b_s + 4m}{mb_s^2} x^2 + \frac{36r}{m^2 b_s^3} (b_s^2 + 2mb_s + 16m^2)x^3 + B'x^4 \right]}{\langle K^0 | K^0 \rangle} \quad (12)$$

其中 $b_s = \frac{4}{3} + 2m$, 两式的比为

$$P = \mathcal{M}^L / \mathcal{M}_{\text{vac}}^L = \omega_0 + \omega_1 x^2 + \omega_2 x^3 + \omega_4 x^4 \quad (13a)$$

其中

$$\begin{aligned}\omega_0 &= 1, \quad \omega_2 = 3/mb_s, \\ \omega_3 &= -\frac{18r}{m^2b_s^3}(b_s^2 + 2mb_s) \\ \omega_4 &= \frac{B}{16} - B' + 18\frac{b_s + 4m}{m^2b_s^3}\end{aligned}\quad (13b)$$

将 (13a) 作 Pade' [2, 2] 近似得:

$$P = \frac{1 + u_1x + u_2x^2}{1 + t_1x + t_2x^2} \quad (13c)$$

其中

$$\begin{aligned}u_1 &= 1 - \frac{\omega_3}{\omega_2}, & u_2 &= \omega_2 + \frac{\omega_3^2}{\omega_2} - \frac{\omega_4}{\omega_2} \\ t_1 &= -\frac{\omega_3}{\omega_2}, & t_2 &= \frac{\omega_3^2}{\omega_2^2} - \frac{\omega_4}{\omega_2}\end{aligned}\quad (13d)$$

当 $x \rightarrow \infty$

$$P \rightarrow 1 + \frac{\omega_3^3}{\omega_3^2 - \omega_2\omega_4} \quad (14)$$

我们把部分结果列于表 1, P 与 r 的关系见图 1. 为便于比较, 表 2 中列出了 $m = 1, 2$; $r = 0.6, 1$ 时的 P 值以及实验和文献 [2, 4, 10, 11] 的结果.

表 1 P 的数值 ($m = 1, 2$; $r: 0 \sim 1$)

(i) $m = 1$						
r	0	0.2	0.4	0.6	0.8	1
B	566.6	453.0	112.0	-456.4	-1252.	-2275.
B'	29.84	-16.03	-153.6	-383.0	-704.1	-1117.
P	.8332	.9616	.9884	.9946	.9969	.9980
(ii) $m = 2$						
r	0.	0.2	0.4	0.6	0.8	1
B	79.20	64.11	18.83	-56.64	-162.3	-298.1
B'	9.671	-239.6	-987.3	-2233.	-3978.	-6221.
P	1.043	.9993	.9998	.9999	1.000	1.000

表 2 P 值的比较 (实验值一栏取 $m_c = 1.5$ GeV)

	实 验	真空饱和近似 ^[2]	袋模型 ^[10]	流代数 ^[4]	本文结果 ($r = 0.6$)
P	0.938	1	3	0.33	0.995 ($m = 1$) 1.000 ($m = 2$)

表 3 \mathcal{M}^L 与 m 的关系 ($r = 0.6$)

m	0.5	1	1.5	2	2.5	3
\mathcal{M}^L	-4.339	-.4526	.1009	.2659	.3391	.3789

量纲
作了!

和值

2.

1.

1.

P

0.1

0.4

0

值渐
表 3):
米子
可靠.

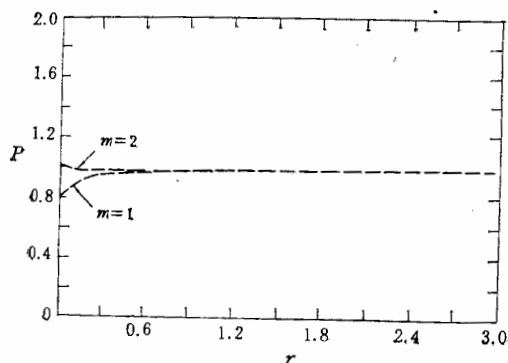
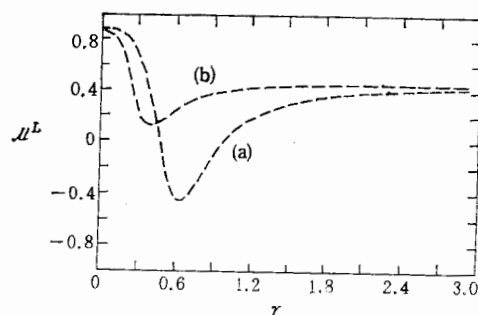
目
开对,
果接
偏离.
E
的结果

[1] I
[2] N
[3] N
[4] J
[5] F
[6] P
[7] F

同样地,可以对(11)式作 Pade' 近似,结果见图 2. 在格点理论的计算中, \mathcal{M}^L 是无量纲量,所以图 2 的标度是不确定的,我们对 \mathcal{M}^L 未作 Pade' 近似前的展开式的首项作了归一化.

四

在图 1 中我们看到一条几乎水平的直线,表明 $|\Delta S|=2$ 矩阵元 \mathcal{M}^L 与其真空饱和值 $\mathcal{M}_{\text{vac}}^L$ 之比 P 具有非常好的参数 r 无关性. 结果与实验值(0.938)很接近.

图 1 P 值随 r 的变化曲线图 2 曲线 (a)、(b) 分别为 $m=1, 2$ 时 \mathcal{M}^L 作 pade' 近似结果

从图 2 看到,当质量参数 $m=2$ 而 $r < 0.6$ 时, \mathcal{M}^L 的值变化急剧,而 $r \geq 0.6$ 时,该值渐趋稳定. 这个结果与强子质量谱的计算^[9]相容. 矩阵元 \mathcal{M}^L 当 m 小时也不稳定(见表 3),而当 $m \geq 2$ 时变化较为平稳. 其原因是由微扰论本身引起的. 当 m 很小时,一对费米子态和多对费米子态的基态能量 E_0 靠得很近,在这种情况下,非简并微扰的结果不再可靠.

由本文的计算得到结论:(1) $|\Delta S|=2$ 矩阵元的强耦合展开与强子能谱的强耦合展开对 m, r 的依赖性有相同的行为,因而是相容的;(2) $|\Delta S|=2$ 矩阵元的强耦合计算结果接近真空饱和值,因而也和实验值相接近,而袋模型和流代数的结果则和实验有较大的偏离.

目前关于比值 P 的 Monte Carlo 结果仍有很大的不确定性^[6,7,8],只能作为定性比较的结果. 在定性上,我们的结果是与 Monte Carlo 的结果相容的.

参 考 文 献

- [1] K. G. Wilson, *Phys. Rev.*, **D10**(1974), 2445.
- [2] M. K. Gaillard, B. W. Lee, *Phys. Rev. Lett.*, **33**(1974), 108.
- [3] M. A. Shifman, A. I. Vainshtein, V. L. Zakharov, *Nucl. Phys.*, **B120**(1977), 316.
- [4] J. F. Donoghue, E. Golowich, B. R. Holstein, *Phys. Lett.*, **119B**(1982), 412.
- [5] R. E. Shrock, S. B. Treiman, *Phys. Rev.*, **D19**(1979), 2148.
- [6] N. Cabibbo, G. Martinelli, R. Petronzio, *Nucl. Phys.*, **224B**(1984), 381.
- [7] R. C. Brower, G. Maturana, M. B. Gavela, R. Gupta, *Phys. Rev. Lett.*, **53**(1984), 1318.

75.

17.

80

8.1

21.

00

果
6)

= 1)

= 2)

89

- [8] C. Bernard, T. Draper, G. Hockney, A. M. Rushton, A. Soni, *Phys. Rev. Lett.*, 55(1985), 2770.
[9] J. Shigemitsu, *Phys. Rev.*, D18(1978), 1709.
[10] P. Colic, B. Guberina, J. Trampetic, D. Tadic, *Phys. Rev. Lett.*, 221B(1983), 141.

THE WEAK INTERACTION MATRIX ELEMENTS OF $|\Delta S|=2$ ON LATTICE

CHEN QIZHOU LI ZHIBING HE BAOPENG LUO XIANGQIAN GUO SHUOHONG

(Zhongshan University, Guangzhou)

ABSTRACT

Using the strong coupling expansion method in lattice gauge theory, we calculate the weak interaction matrix elements of $|\Delta S|=2$. Our results of the K_L - K_S mass difference are not only consistent with those of meson mass spectrum obtained by the same method, but also close to the experimental value.